

MODELES CONTRAINTS

DE

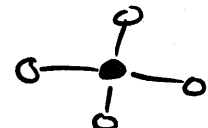
MECANIQUE STATISTIQUE

SUR RESEAUX FIXES OU 

ALEATOIRES :



OBJETS DURS et



PLIAGES



E. Guittier

J. Bouttier , M. Bowick, B. Eynard, O. Golinelli

J. Jacobsen , C. Kristjansen

RESEAUX FIXES

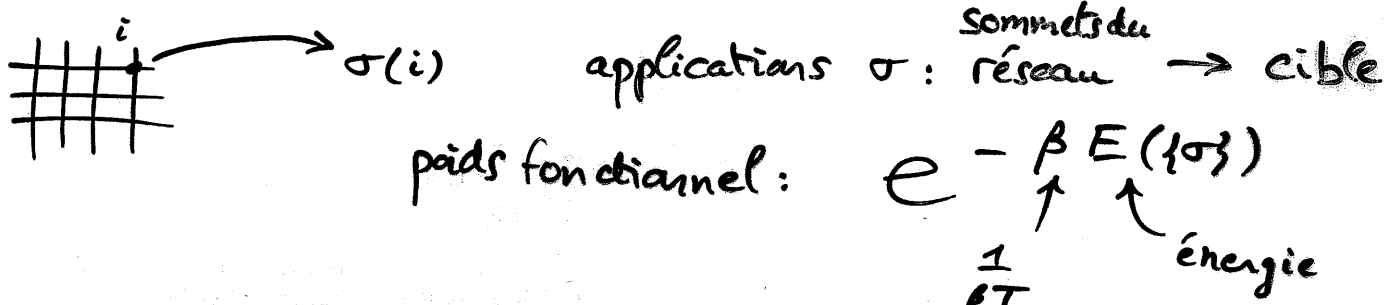
ET

ALEATOIRES :

GENERALITES

[P1] [P2]

A - Modèles sur réseaux à 2D et Théorie conforme



- Limites (1) Thermodynamique = grande taille
 (2) Continue = pas de réseau $\rightarrow 0$

Fonction de Partition

$$Z = \sum_{\{\sigma\}} e^{-\beta E(\{\sigma\})}$$

a des singularités dans la limite (1) (2)

\Rightarrow PHENOMENES CRITIQUES, EXPOSANTS

Description continue = par théorie des champs

$$\sigma(i) \rightsquigarrow \phi(x) \text{ champ}$$

Points critiques \rightsquigarrow Théories Conformes (CFT)
 Catalogue des exposants critiques

L'agge centrale $c = 1 - \frac{6(p-q)^2}{pq}$ $p, q = 1 \in \mathbb{N}^*$

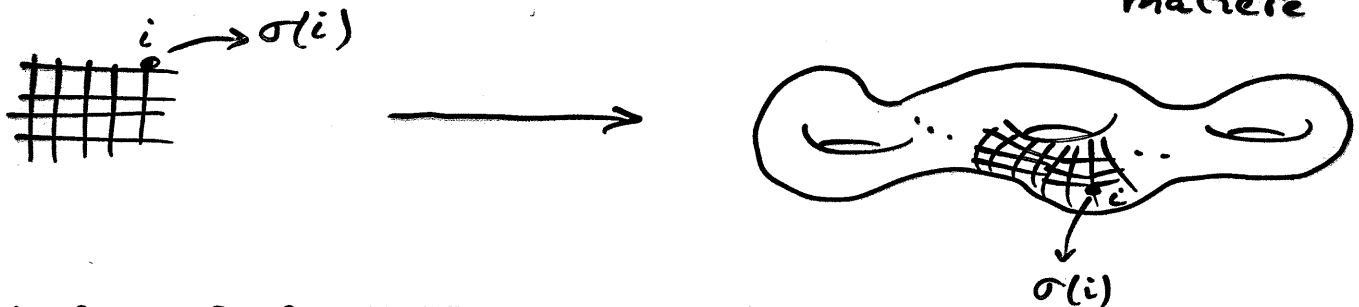
dimensions des opérateurs $h_{r,s} = \frac{(pr-qs)^2 - (p-q)^2}{4pq}$ $r, s \in \mathbb{N}^*$

Exemple $f = \lim \log Z$ $f|_{sing} \sim (T - T_c)^{2-\alpha}$

α = exposant thermique = $\frac{1-2h}{1-h}$, h dimension de l'opérateur thermique de la CFT.

B - GRAVITE QUANTIQUE à 2D

Relativité Générale \rightarrow quantifier les interactions espace-matière



LA SOMME STATISTIQUE INCLUT LES FLUCTUATIONS QUANTIQUES DU RESEAU \rightarrow SURFACES ou PAVAGES ALEATOIRES

$$Z = \sum_{\substack{\text{Pavages} \\ \text{connexes} \\ \text{espace}}} N^{X(\pi)} g^{A(\pi)} \sum_{\sigma: \pi \rightarrow \text{Cible}} e^{-\beta E_\pi(\sigma)}$$

↓ ↓ ↓
 Caract. Aire Matière
 d'Euler sur le pavage π
 Action d'Einstein CFT
 de la Gravité

- Limite Planaire $N \rightarrow \infty$ $X = 2 - \gamma$ $h=0$ genre zéro.
- Singularités en $g \rightarrow g_c$; exposants de la gravité
- Si la matière est aussi critique $T \rightarrow T_c$, CFT avec c

Alors

$$Z|_{\text{sing}} = (g_c - g)^{2-\gamma}$$

$$\gamma = \frac{c-1 - \sqrt{(c-1)(25-c)}}{12}$$

KPZ '88

Somme sur les pavages \leadsto classes conformes de métriques
 \leadsto Théorie des champs de Liouville + CFT

les opérateurs de la CFT sont "habillés" par la gravité → acquièrent des "dimensions gravitationnelles"

Ex: fonctions de corrélation $\phi_{h_i} \rightarrow \tilde{\phi}_{h_i}$

| | |
|--------------|----------------------|
| ϕ_{h_i} | $\tilde{\phi}_{h_i}$ |
| CFT | CFT+gravité |

$$\langle \tilde{\phi}_{h_1} \tilde{\phi}_{h_2} \dots \tilde{\phi}_{h_n} \rangle \sim (g_c - g)^{\sum_i (\Delta_i - 1) + 2 - \gamma}$$

$$\Delta = \frac{\sqrt{1-c+24h} - \sqrt{1-c}}{\sqrt{25-c} - \sqrt{1-c}}$$

$\tilde{\phi}$ = version de ϕ intégrée sur les positions sur la surface → plus de notion de distance. Seule l'aire subsiste.

$$Z \sim (g_c - g)^{2-\gamma}$$



$$Z_A \sim \frac{g_c^{-A}}{A^{3-\gamma}}$$

↓
aire fixée A
grande

COMBINATOIRE ASYMPTOTIQUE DES PAVAGES + MODELES de MATIERE

Exemple: Gravité Pure: pavages aléatoires, sans matière

$$\gamma = -\frac{1}{2}$$

Toutes cartes planaires enracinées $\sim \frac{B^n}{n^{5/2}}$

$n = \# \text{ sommets} = \text{Aire } A$

$$A Z_A \sim g_c^{-A} / A^{5/2}$$

↑
enracinement !

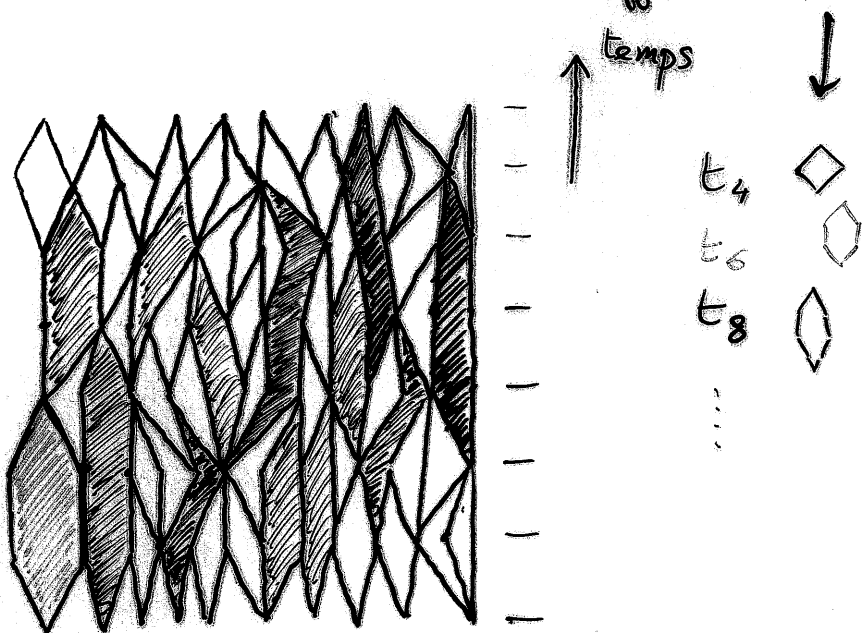
C - GRAVITE LORENTZIENNE

(1+1 dimension)

surfaces semi-aléatoires

temps régulier

espace irrégulier tuiles polygonales de différentes tailles



Multimères "durs"
à 1 Dimension

(premier plan)

$Z_{H.D.}(\{z\})$
poids z_i par i-mère

$Z(\{t\})$

poids t_{2i+2} par zitgone

$$Z_{H.D.}(\{z\}) \times Z(\{t\}) = 1$$

$$z_i = -t_{2i+2}$$

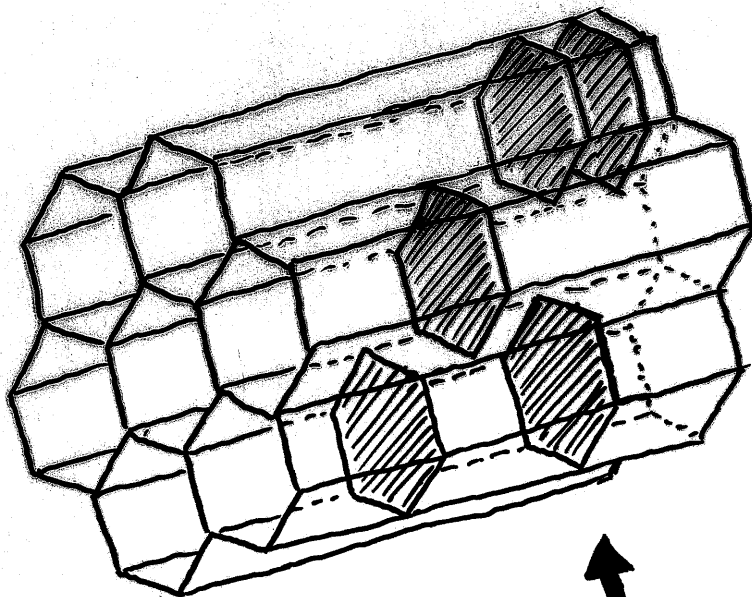
→ modèles multicritiques

$$f_{sing} \sim (t_c - t)^{\frac{1}{k+i}}$$

→ généralisations

→ "piles de dimères"; animaux sur réseau

EXEMPLE à 2+1 Dimensions



Hexagones durs
à 2D, poids
 $Z = -t / \text{hexagone}$

réseaux semi-cléatoires

à 2+1 D , poids t

par plaquette (duale d'un dodécaèdre élémentaire)

$$Z_{HH}(-t) \times Z_{2+1}(t) = 1$$

↓
Intégrable
(Baxter)

OBJETS

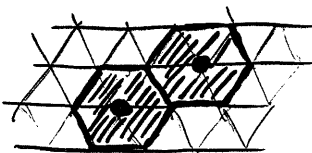
DURS

[P3]

A - PARTICULES DURES SUR RESEAUX

PARTICULES EXCLUANT LES VOISINS ; poids \geq particule

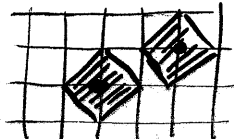
Triangulaire



Hexagones Durs

Intégrable (Baxter)

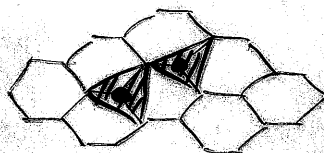
Carré



Carrés Durs

Matrice de Transfert de Coins
(Baxter)

Hexagonal



TRIANGLES Durs
MTC (Baxter)

Résultats

- HEXAGONES DURS deux points critiques $z_+ > 0, z_- < 0$

l'énergie libre par site $f = \frac{1}{\text{taille}} \log Z(z)$ a une singularité $f \sim (z_c - z)^{2-\alpha}$

$(z_-) \quad \alpha = 7/6$ singularité de Lee-Yang CFT $c(2,5) = -22/5$
(non unitaire $z_- < 0$)

$(z_+) \quad \alpha = 1/3$ Modèle de Potts à 3 états CFT $c(5,6) = 4/5$
(unitaire $z_+ > 0$)

= transition de cristallisation à $z \gg z_+$ le système tend à occuper 1 des 3 sous-réseaux hexagonaux

- CARRÉS / TRIANGLES durs séries \rightarrow ordre 50 en z

$(z_-) \quad \alpha = 7/6$ (cav. num.) Lee Yang $c(2,5) = -22/5$
(non-unitaire)

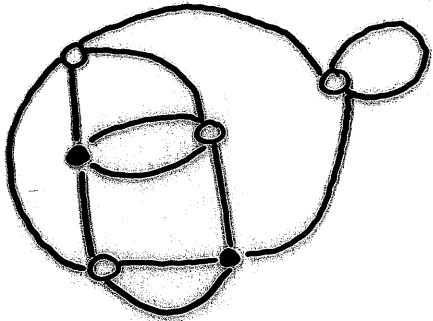
$(z_+) \quad \alpha = 0$ (cav. num.) Ising $c(3,4) = 1/2$
(unitaire)

= On attend une transition de cristallisation à $z \gg z_+$
le système tend à occuper 1 des deux sous réseaux (bipartie)

B - Particules dures sur réseaux aléatoires

Particules excluant les voisins sur un graphe planaire tétivalent ; poids =

$$\begin{cases} z / \text{particule (matière)} \\ g / \text{sommet (espace)} \end{cases}$$

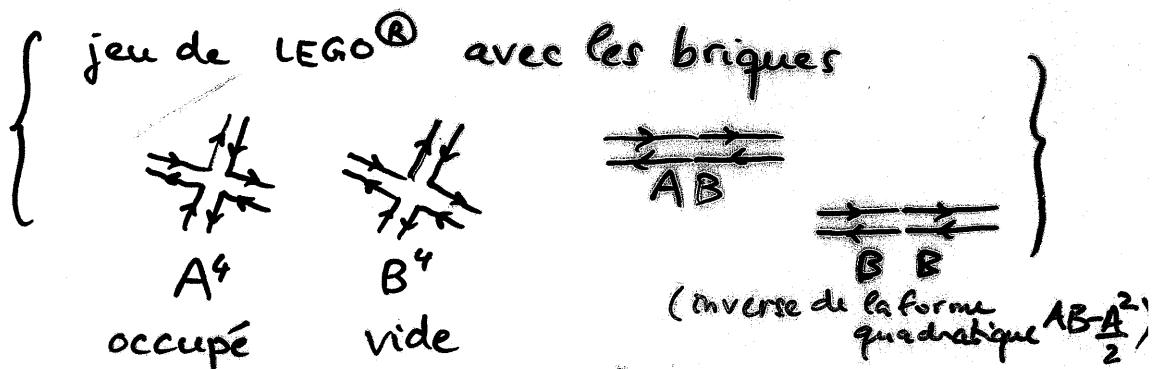


MODÈLE DE MATRICE

A, B Hermitiennes $N \times N$

$$Z(N; g, z) = \frac{\int dA dB e^{-N\text{Tr}(AB - \frac{A^2}{2} - gz\frac{A^4}{4} - g\frac{B^4}{4})}}{\int dA dB e^{-N\text{Tr}(AB - \frac{A^2}{2})}}$$

$\sum_{\text{graphes tétivalents}}$



- les indices des matrices sont portés par les lignes orientées, qui bordent les faces $\Rightarrow N^F$
- les arêtes portent $1/N$
- les sommets N

$$N^{F-A+S} = X$$

LIMITE PLANAIRES $N \rightarrow \infty$

$$\lim_{N \rightarrow \infty} \frac{1}{N^2} \log Z(N; g, z) = f(g, z) \quad \text{énergie libre planaire}$$

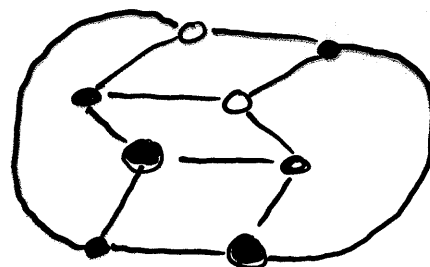
Calculer f exactement ?

PARTICULES DURES SUR GRAPHES

TRIVALENTS BI PARTIE

MODELE DE MATRICE

$$Z = \int dA_1 dA_2 dA_3 dA_4 e^{-N\text{Tr} V(A_1 A_2 A_3 A_4)}$$



$$V(A_1 A_2 A_3 A_4) = A_1 A_2 - A_2 A_3 + A_3 A_4 - g\left(\frac{A_1^3}{3} + \frac{A_4^3}{3}\right) - g\zeta\left(\frac{A_2^3}{3} + \frac{A_3^3}{3}\right)$$

• vide ↓ • occupé ↓ • vide

arêtes:

- A₁ A₄
- A₁ A₂
- A₃ A₄

(inverse de la forme quadratique)

ETAPE 1 reduction aux valeurs propres

ETAPE 2 Polynômes bi-orthogonaux

$$(f(x_i), g(x_j)) = \int dx_1 dx_2 dx_3 dx_4 e^{-NV(x_1 x_2 x_3 x_4)} f(x_1) g(x_4)$$

$$Z = \prod_{n=0}^{N-1} \frac{h_n(g_i; 3)}{h_n(0; 0)} ; \quad (P_n, Q_m) = h_n \delta_{n,m}$$

ETAPE 3 opérateurs P, Q

$$P_1: \frac{d}{dx_1} \text{ sur } P_n$$

$$P_2: \frac{d}{dx_4} \text{ sur } Q_m$$

$$Q_1: x_1 \text{ sur } P_n$$

$$Q_4: x_4 \text{ sur } Q_m$$

$$Q_4 = Q_1^+$$

$$Q_2: x_2 \text{ sur } P_n$$

$$Q_3: x_3 \text{ sur } Q_m$$

$$Q_3 = Q_2^+$$

$$\frac{P_1}{N} = Q_2 - g Q_1^2 ; \quad Q_1 = Q_2^+ + g \zeta Q_2^2$$

limite planaire $N \rightarrow \infty$ $\frac{n}{N} = z$ fixé

$$\begin{cases} Q_2 = \sigma^2 S_0(x) + \sigma^{-1} S_1(x) + \sigma^{-4} S_2(x) \\ Q_1 = \sigma + \sigma^{-2} r_1(x) + \sigma^{-5} r_2(x) + \sigma^{-8} r_3(x) \\ \sigma^+ = v \sigma^- \quad v(x) = \lim \left(\frac{h_n}{h_{n-1}} \right) \end{cases}$$

\Rightarrow système d'équations algébriques $V = g_3^2 v$

$$g^2 z^2 x = \varphi(V) = \frac{zV}{(1+2V)^2} - 2V^2(1-2V^2)$$

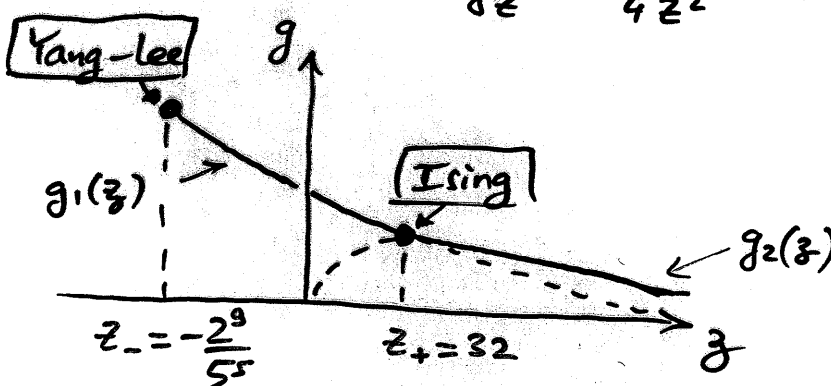
et énergie libre $f = \sum f_n g^n \quad E = g \frac{d}{dg} f = \sum e_n g^n$

avec $e_n = \frac{1}{(n+1)(n+2)} \oint \frac{du}{2\pi i u} \frac{1}{\varphi(u)^n}$

SINGULARITES

$$\varphi'(V_c(z)) = 0 \propto (1-2V)(z - 4V(1+2V)^4) \quad 2 \text{ branches}$$

$$\begin{cases} g_1^2(z) = \frac{1+8V+10V^2}{8(1+2V)^8} ; \quad z(v) = 4V(1+2V)^4 \\ g_2^2(z) = \frac{1}{8z} - \frac{1}{4z^2} ; \quad V = \frac{1}{2} \end{cases}$$



Deux points critiques
 $\begin{cases} z_- \rightarrow \text{pt d'arrêt} \\ z_+ \rightarrow \text{croisement} \end{cases}$

Aux deux points, on a $\varphi''(V_c(z)) = 0 \Rightarrow$

$$\gamma(c(p,q)) = -\frac{2}{p+q-2} \quad p+q=2; p \wedge q=1$$

$$\gamma = -\frac{1}{3}$$

$(p,q) = (2,5)$ LEE-YANG

$(p,q) = (3,4)$ ISING (cristallisation)

Solution du modèle de matrices $N \rightarrow \infty$ (planaire)

$$\frac{d^2}{dg^2} g^3 \frac{d}{dg} f = 1 - g \frac{d}{dg} \log V$$

$$g = V(1 - 3zV^2) - \frac{3V^2}{(1 - 3zV^2)^2} \quad V = g + O(g^2)$$

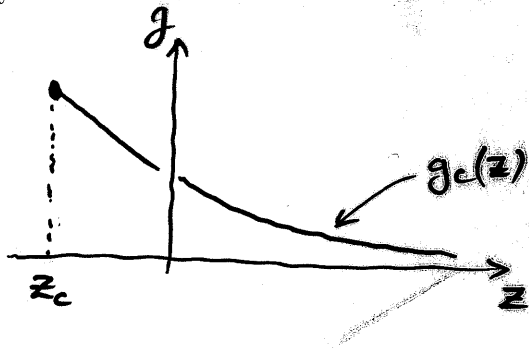
les singularités de f sont celles de V . Généralement

$$(V_c - V)^2 \sim g_c - g \Rightarrow f_{\text{sing}} \sim (g_c - g)^{2-\gamma}$$

Mais à une valeur particulière (pt multicritique) de $z = z_c$

$$\text{on a : } (V_c - V)^3 \sim g_c - g \Rightarrow \gamma = -\frac{1}{3}$$

Lee Yang
 $C(2,5) + 2DQG$



$$z_c = -\frac{25}{8192} (11\sqrt{5} + 25) < 0$$

(théorie non-unitaire)

PAS D'AUTRE SINGULARITÉ !

- La transition de cristallisation (Ising?) est effacée par les fluctuations du réseau
- pas de bons états fondamentaux maximalement occupés
- Restreindre les graphes à être bicolorables des sommets

LEÇON : les contraintes géométriques ont mis en exergue l'aspect bipartie du réseau comme élément nécessaire pour l'existence d'une transition de cristallisation

ici : le réseau aléatoire doit s'accomoder pour permettre l'existence générique d'états fondamentaux cristallins

suite : le réseau va devoir s'accomoder pour permettre l'existence générique des degrés de liberté du modèle de matière

B - PLIAGE D'UNE MEMBRANE FLUIDE (TRIANGULÉE)

Réseau Triangulaire → Triangulation aléatoire
(valence arbitraire des sommets)

- UNE TRIANGULATION PLANaire EST "PLIABLE"
↔ ELLE EST EULERIENNE = valence des sommets paire
- POUR PRESERVER les DEGRES de LIBERTE du modèle FPL(n) , il faut considérer le modèle sur des graphes (duals des triangulations) BI PARTIE = avec sommets bicoloriables

Triangulations arbitraires (gravité ordinaire)

$$C = C_D(n) = 1 - \frac{6e^2}{1-e}$$

Triangulations Euleriennes (gravité Eulerienne)

$$C = C_{FPL}(n) = 2 - \frac{6e^2}{1-e}$$

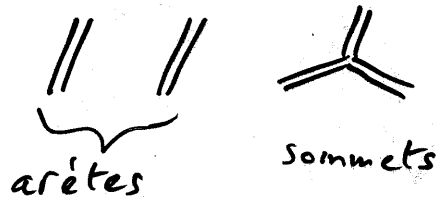
(cf phénomène analogue avec les objets durs = seul un ensemble restreint de réseaux aléatoires permet de préserver les degrés de liberté)

C - EXEMPLE de FPL ($n=1$)

$$e = \frac{1}{3} ; n = 2\cot\pi e = 1 ; C_{FPL} = 2 - 6 \frac{e^2}{1-e} = 1$$

- Couplage à la gravité ordinaire

$$Z^{(\text{ordin.})} = \int_{N \times N \text{ Hermit.}} dA dB e^{-N \text{Tr} \left(\frac{A^2}{2} + \frac{B^2}{2} - g AB^2 \right)}$$



on intègre sur A (Gaussien)

$$Z^{\text{ordin}} = \int dB e^{-N \text{Tr} \left(\frac{B^2}{2} - \frac{2g^2}{4} B^4 \right)}$$

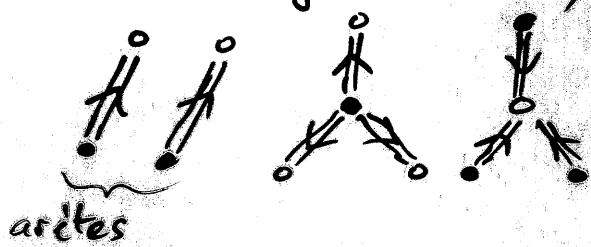


⇒ Gravité pure (pas de matière)

$$C = C_D(1) = 0$$

- Couplage à la gravité Eulérienne

$$Z^{\text{Eul.}} = \int_{N \times N \text{ complex.}} dA dB e^{-N \text{Tr} \left(AA^+ + BB^+ - g (AB^2 + A^+ B^2) \right)}$$



on intègre sur A (Gaussien)

$$\Rightarrow Z^{\text{Eul.}} = \int dB e^{-N \text{Tr} \left(BB^+ - g^2 B^2 B^{+2} \right)}$$



⇒ MODÈLE 6V + gravité

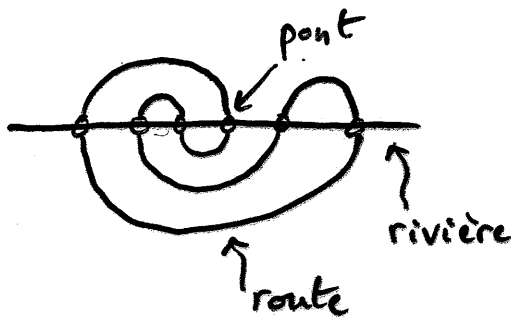
(Kazakov / P. Zinn-Justin)

$$C = C_{FPL}(1) = 1$$

LA SOLUTION
ASYMPTOTIQUE
DU PROBLEME DES
MEANDRES

[P7] [P8] [P9] [P10]

A - MEANDRES: ENUMERATION

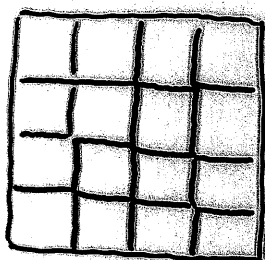


$M_n = \#$ configs topol. équivalentes
d'une route croisant une
rivière rectiligne en $(2n)$ ponts,
fermée, sans auto-intersections

(Poincaré, Arnold, St Lagüe, Touchard, Lunnon, Lando, Zvonkin, Ko, Smolinski, Physique)

$$M_n \underset{n \rightarrow \infty}{\sim} C \frac{R^{2n}}{n^\alpha} \quad \begin{cases} R \approx 3.50... \\ \alpha \approx 3.5... \end{cases} ?$$

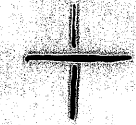
B - GAZ DE BOUCLES COMPACTES SUR LE RESEAU CARRE



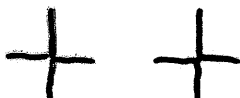
2 types de boucles



2 types de vertex



$\underbrace{\quad}_{\text{croisement}}$



$\underbrace{\quad}_{\text{tangence}}$

6 vertex

Poids = n_1 par boucle bleue n_2 par boucle rouge

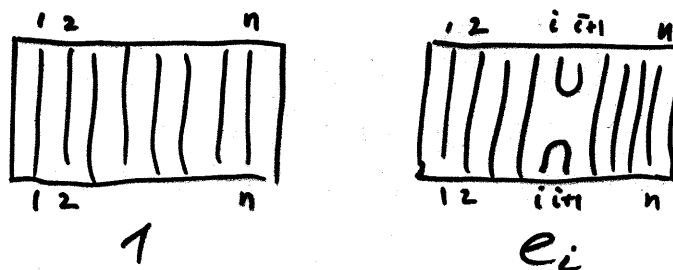
Nom = $FPL(n_1, n_2)$
(Fully-Packed Loop)

| | |
|------------|-----------|
| De Gier | Blöte |
| Nienhuis | Batchelor |
| Kondev | Suzuki |
| Jacobsen | Young |
| De Coninck | |

ALGEBRE DE TEMPERLEY-LIEB $TL_n(\beta)$

Structure responsable de l'intégrabilité des modèles O(n), 6V, Potts

GENERATEURS



produit = concaténation de dominos + esp. vect.

RELATIONS

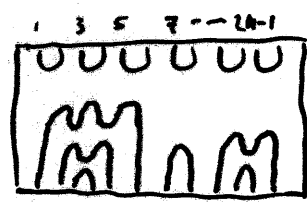
$$e_i \cdot e_{i+1} \cdot e_i = e_i$$

$$e_i^2 = \beta e_i$$

$$e_i \cdot e_{i+1} \cdot e_i = e_i \cdot e_{i+1}$$

IDEAUX

de $TL_{2n}(\beta)$



configuration d'arche

$$\mathcal{J}_{2n}(\beta) = TL_{2n}(\beta) \times e_1 e_3 e_5 \dots e_{2n-1}$$

Un méandre \equiv 2 configs d'arches superposées $\frac{a}{b}$

$$\# \text{compex. connexes de route} = c(a/b)$$

$$\text{produit scalaire } (a, b) = \text{Tr}(ab^+) = \beta^{c(a/b)}$$

$$M_n = \lim_{\beta \rightarrow 0} \frac{1}{\beta} \sum_{a, b \in \mathcal{J}_{2n}(\beta)} \text{Tr}(ab^+)$$

$$G_{ab} = (a, b) \text{ matrice de Gram}$$

RESULTAT

- $FPL(n_1, n_2)$ est critique pour $-2 \leq n_1, n_2 \leq 2$
- Décrit par une CFT avec charge centrale

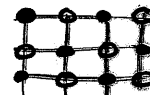
$$C_{FPL}(n_1, n_2) = C_0(n_1) + C_0(n_2) + 1$$

$$C_0(n_i) = 1 - \frac{6e_i^2}{1-e_i} ; n_i = 2\cos(\pi e_i)$$

$C_{FPL} = 3 - qqch \Rightarrow 3$ champs scalaires
 \Rightarrow degré de liberté $\in \mathbb{R}^3$ (variable de hauteur)

VARIABLE DE HAUTEUR ($n_1 = n_2 = 2$)

ETAPE 1 Bicolorier les sommets du réseau



ETAPE 2 Variable d'arête après orientation des boucles
 $(\sum$ orientations $\Leftrightarrow n_1 = n_2 = 2$ par boucle)



ETAPE 3 Variable de face par règle d'Ampère



ETAPE 4 Compatibilité pour chaque vertex

Ex:
$$h \equiv h + A + C + B + D$$

$\Leftrightarrow A + B + C + D = 0$ 4 vecteurs $\in \mathbb{R}^3$
 $\Rightarrow h \in \mathbb{R}^3$

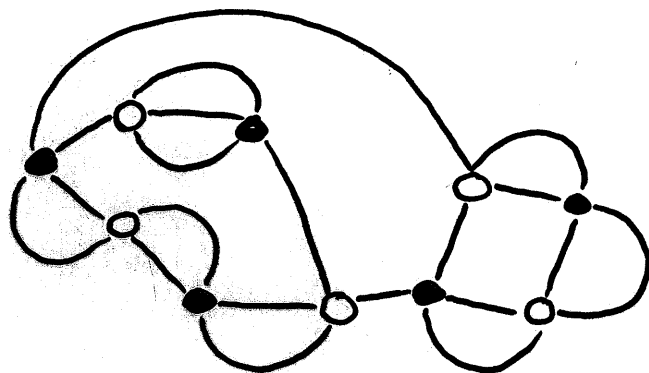
NB: modèle "dense"
$$\begin{cases} C+D=0 \\ A+B=0 \end{cases} \quad h \in \mathbb{R}^2$$

$$C_{\text{dense}} = C_{FPL} - 1$$

C = FPL(n₁, n₂) et Gravité Quantique à 2D

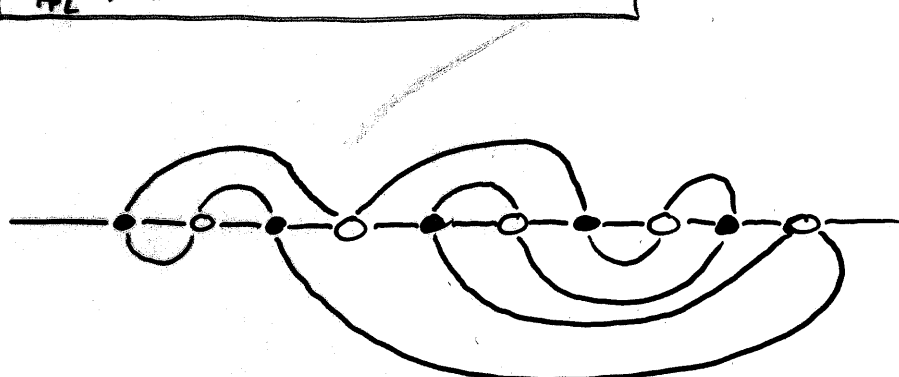
LA Bicoloration des sommets était cruciale pour une bonne définition des variables de hauteur

Donc FPL(n₁, n₂) sur des graphes tétavalents biportie



Une rivière, une route $\Leftrightarrow \begin{cases} n_1 \rightarrow 0 \\ n_2 \rightarrow 0 \end{cases}$

$$C_{\text{FPL}}(0,0) = 1 - 2 - 2 = -3$$



MEANDRES "TANGENTS"

$$\gamma(-3) = -\frac{1+\sqrt{7}}{3}$$

$$T_n \sim \frac{3^{2n}}{n^\beta} ; \quad \beta = 2 - \gamma = \frac{7 + \sqrt{7}}{3}$$

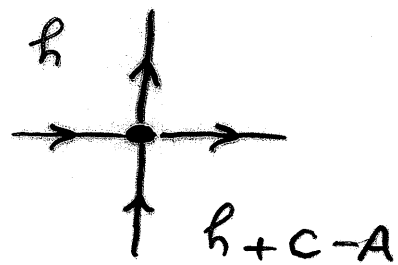
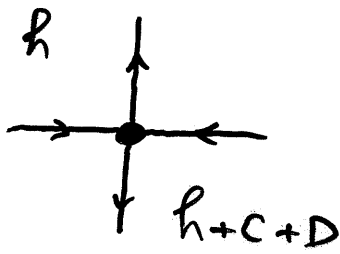
2n = "aire" (# carrés dans la quadrangulation duale)

β = exposant de configuration

D - MEANDRES

Pour engendrer les "vrais" meandres (sans points tangents) il faut interdire le vertex tangent

①



diagonallement

$$h \rightarrow h \pm (A+B)$$

(1 direction)

↑↑

$$h \rightarrow h \pm (A-C)$$

$$h \pm (B+C)$$

(2 directions)

en éliminant ce vertex, on réduit la dimension de 1 pour l'espace des hauteurs $\Rightarrow h \in \mathbb{R}^2$

$$C = C_{FPL}(0,0) - 1 = -4$$

② Autre solution: utiliser des graphes arbitraires, non nécessairement bipartie \Rightarrow plus de distinction

$\Rightarrow \begin{cases} A \text{ et } -B \text{ indistinctables} \\ C \text{ et } -D \text{ également} \end{cases}$

$$A+B=C+D=0$$

$\Rightarrow h \in \mathbb{R}^2$ de facto.

Modèle dense DPL(n_1, n_2)

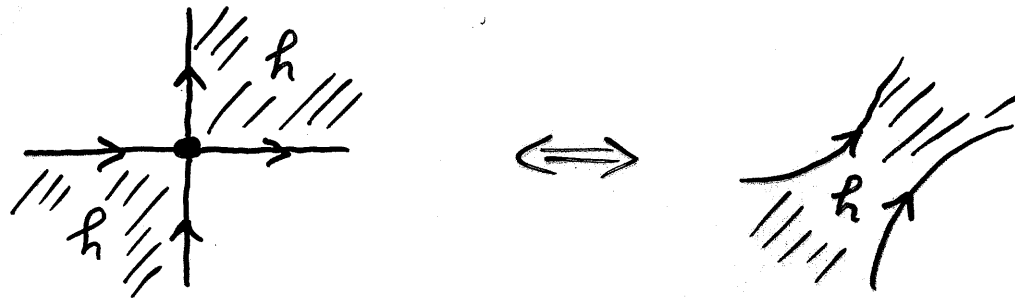
$$c_D(n_1, n_2) = c(n_1) + c(n_2) = c_{FPL}(n_1, n_2) - 1$$

Kondor - Jacobsen

$$C_D(0,0) = -2 - 2 = -4$$

Problème = que faire du vertex tangent ?

Réponse = rien, il ne compte pas (non pertinent)



Les faces SE et NO ont la même hauteur, identique à la situation où elles communiqueraient

La présence ou l'absence du vertex tangent n'affecte pas l'universalité (au contraire du cas bipartie)

Dans les deux cas nous obtenons $c = -4$ pour la classe d'universalité des méandres

$$\gamma(-4) = -\frac{5 + \sqrt{145}}{12}$$

$$M_n \sim \text{const.} \frac{R^{2n}}{n^\alpha} ; \alpha = 2 - \gamma = \frac{29 + \sqrt{145}}{12}$$

QED

E - AUTRES NOMBRES "Meandresques"

Nous avons identifié la théorie des champs effectifs décrivant les grands méandres

$$(C = -4) + 2DQG$$

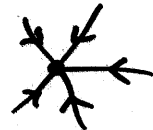
• Opérateurs de création de rivières

Sources



$$\psi_k$$

puits

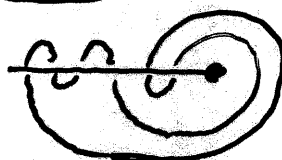


$$\psi_{-k}$$

$$\text{Ex: } \langle \psi, \psi_{-1} \rangle = \sum_{n \geq 1} g^n \neq \left\{ \begin{array}{c} \text{circle with a wavy line} \\ \text{inside} \end{array} \right\} \sim (g_c - g)^{2\Delta_1 - 2}$$

= méandres avec (rivière = segment)

\approx



PLIAGE COMPACT D'UNE BANDE DE TIMBRES \Leftrightarrow SEMI-MEANDRES

$$\bar{M}_n \sim \text{const} \frac{R^n}{n^\alpha} ; \quad \alpha = 1 + \frac{\sqrt{11}}{24} (\sqrt{5} + \sqrt{29})$$

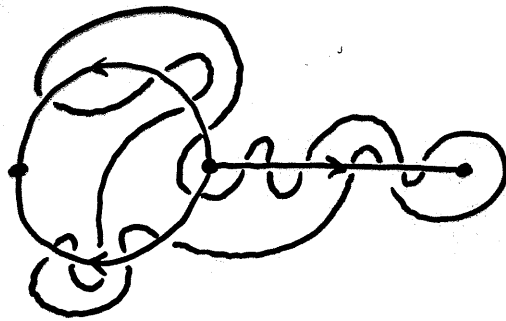
En général ψ_k a dimension conforme $\tilde{h}_k = \frac{k^2 - 4}{32}$
dimension "habillée"

$$\Delta_k = \frac{1}{2} \frac{\sqrt{3k^2 + 8} - \sqrt{5}}{\sqrt{29} - \sqrt{5}}$$

KPZ nous dit $\langle \psi_{k_1}, \dots, \psi_{k_n} \rangle \sim \frac{R^{2A}}{A^{\alpha(k_1, \dots, k_n)}}$
Aire fixée A

$$\alpha(k_1, \dots, k_n) = 1 + \sum_i (\Delta_{k_i} - 1) + 2 - \gamma$$

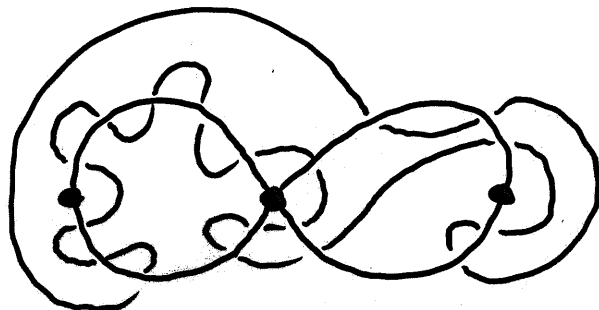
"CERISE"



$$\langle \psi_3 \psi_{-2} \psi_{-1} \rangle$$

$$\alpha = \frac{1}{48} (\sqrt{5} + \sqrt{29})(\sqrt{11} + \sqrt{35})$$

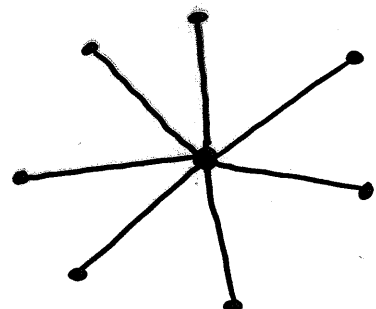
"HUIT"



$$\langle \psi_4 \psi_{-2} \psi_{-2} \rangle$$

$$\alpha = \frac{1}{24} (\sqrt{5} + \sqrt{29})(\sqrt{5} + \sqrt{14})$$

"ETOILE"

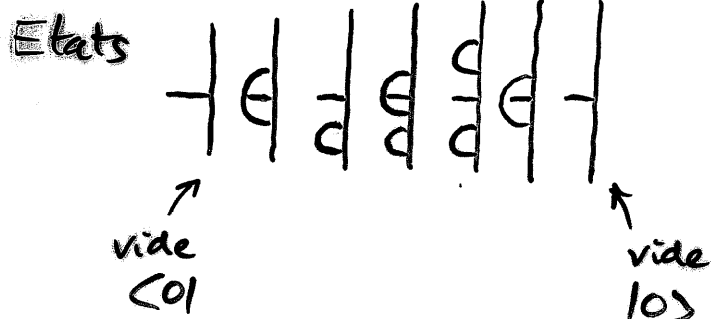
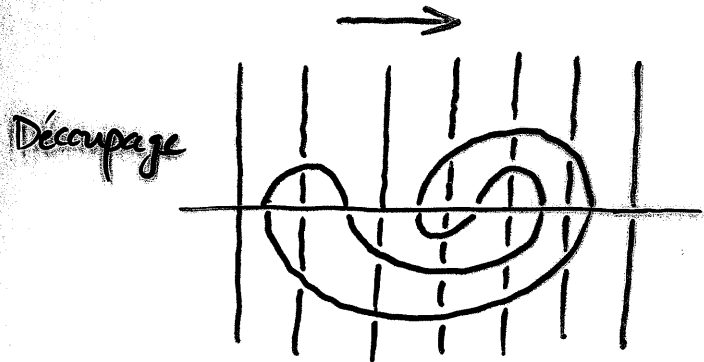


$$\langle \psi_k (\psi_{-1})^k \rangle$$

$$\alpha = \frac{1}{24} \left(\frac{k}{2} \sqrt{11} + \frac{1}{2} \sqrt{3k^2 + 8} - \sqrt{5} - (k-2) \sqrt{29} \right) (\sqrt{5} + \sqrt{29})$$

E - VERIFICATIONS NUMERIQUES

Méthode de Matrice de Transfert (Jensen / Jensen Guttman)



$$M_n = \langle 01 \underset{\{ \text{matrice de transfert}}{T^{2n}} 10 \rangle$$

$$T = \left\{ \begin{array}{c} f + f + \frac{1}{2} \\ + f \end{array} \right\}$$

Résultats: (PDF, Gualter, Jacobsen)

Meandres $\rightarrow 2n = 48$, exact $\alpha = 3.421$

Semi-meandres $\rightarrow n = 33$, exact $\bar{\alpha} = 2.0532$

Huit $\rightarrow 2n = 44$, exact $\alpha_{huit} = 1.88$

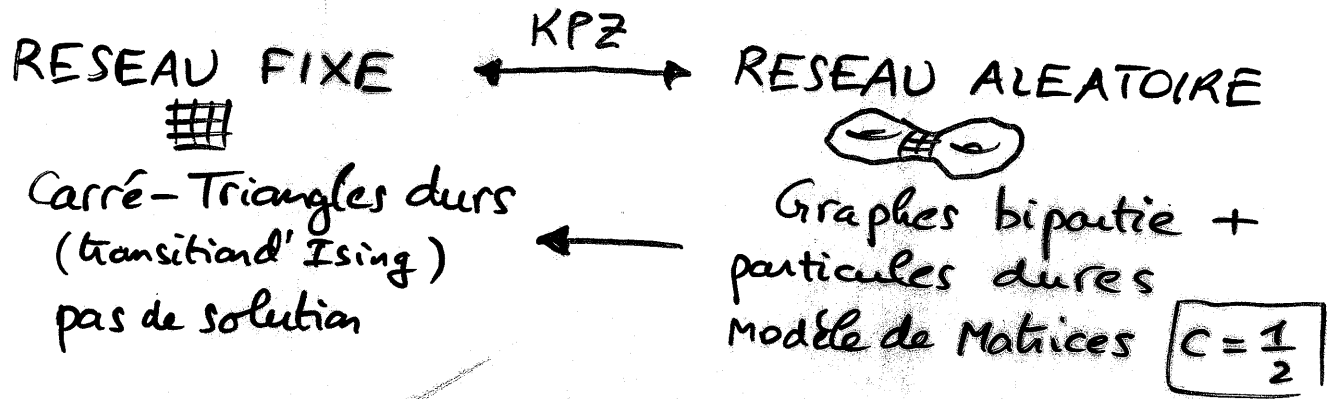
Tangence / ou pas $\rightarrow 2n = 44$, exact $\alpha^{\tan} = \alpha (10^{-3})$

(aussi Jensen - Guttman)

CONCLUSION

Le couplage matière - gravité et l'application de la formule de KPZ peuvent être délicats

Règle d'or = toujours préserver les degrés de liberté (hauteurs ici) // Prix à payer = restreindre éventuellement les pavages aléatoires (bipartie ici)

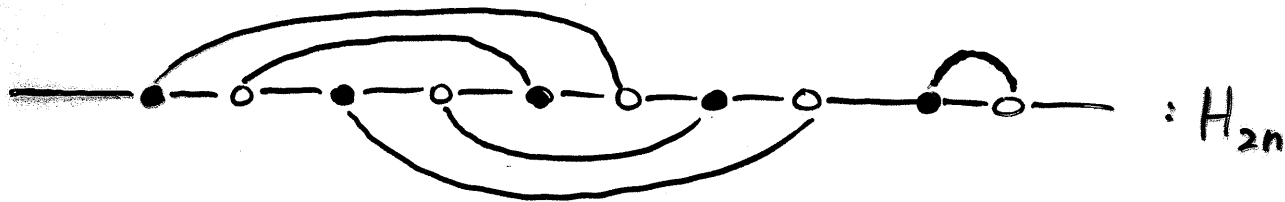


Boucles compactes
sur réseau carré
Gas Coulombien
Ansatz de Bethe

The diagram shows the reduction of dimensionality from graphs to meanders:

- A solid arrow points from **Graphes bipartie** to **Graphes arbitraires**.
- A dashed arrow points from **Graphes arbitraires** to **MEANDRES**.
- A curved arrow labeled "réduction dimensionnelle" points from **Graphes bipartie** directly to **MEANDRES**.
- Below **Graphes arbitraires** is the formula $C = 2 - 6\left(\frac{e_1^2}{1-e_1} + \frac{e_2^2}{1-e_2}\right)$.
- Below **MEANDRES** is the formula $C = -4$.

UN PETIT PROBLEME OUVERT



- les arches ne connectent que
- pas d'intersections

CYCLE HAMILTONIEN SUR TRIANGULATION
BICOLORIEE (dual)

$$H_{2n} \sim \text{const} \cdot \frac{\lambda^{2n}}{n^\alpha}; \quad \alpha = \frac{13 + \sqrt{13}}{6}$$

philippe@spht.saclay.cea.fr

(explication: $c = c_{FPL}(n=0) = -1$ par couplage de FPL($n=0$) à la gravité Eulérienne)

$$\left[\sum_{m=0}^n \binom{2n}{2m} c_{n-m} c_m = c_n c_{n+1} \right]$$

$$c_n = \frac{(2n)!}{n! (n+1)!}$$